# 研究報告

# 母液へのフェロシアン化ナトリウム添加による 塩化ナトリウム樹枝状結晶の作製

正岡功士

## 要旨

母液中にフェロシアン化物イオンを添加した場合に形成される塩化ナトリウムのデンドライトの形成過程を観察した.シャーレにフェロシアン化物イオンを含む塩化ナトリウム飽和水溶液を滴下すると、3時間経過後までの間に液滴とシャーレとの境界線にデンドライトが生成された。デンドライトはシャーレのガラス面に沿って水平方向へ前進し、5~6時間経過して典型的な樹枝状となった。塩化ナトリウムのデンドライトの形成過程は溶液中のフェロシアン化物イオン濃度に依存するが、蒸発速度にも依存し、デンドライトの形状を制御するためには蒸発速度を制御するほうがデンドライト形状の制御範囲が広いと考えられる。

# 1. 緒 言1)

通常、塩化ナトリウムの結晶形状は立方体であるが、晶析条件や母液中の不純物の存在により変化する場合がある。母液中の不純物により結晶形状が変化する一例として、フェロシアン化物イオンの存在によるデンドライト(dendrite = 樹枝状結晶)の形成が知られている。

デンドライトの形成は晶癖変化に起因するといわれている。一般的な結晶成長過程において、成長単位は結晶面の 欠陥部分に優先的に取り込まれるため、最終的には表面に 凹凸の無い単純な構造となる。しかし、母液中にフェロシ アン化物イオンが存在すると結晶成長が阻害されて過飽和 度が次第に増加する。

Fig. 1 に過飽和度とデンドライト形成との関係を模式的に示す。高過飽和条件においては、成長単位が種結晶の欠陥部分に取り込まれるだけでなく、析出条件が悪い場所にも析出する。結晶周辺においては結晶表面の凸部分への析出が比較的に安定であるため、Fig. 1 (2) に示すように凸部分が選択的に前進する。すなわち、面と辺の前進は抑制され稜方向への前進が促進される。前進部の先端はわずかなきっかけで枝分かれするため、正6面体構造である塩化ナトリウムのデンドライトは稜方向の成長線を軸として3枚の矢羽根状に前進し、杉や桧などの樹形に似た形となる。このとき、過飽和度が高いほど枝分かれが多くなるため、Fig. 1 (3) に示すように枝の間隔が狭いデンドライトができやすく、外見上、分枝の太いデンドライトが形成されたように見える。

このように、デンドライトの形成については概念的には知られているが、晶析条件などについて詳細に検討した例は少なく、村上らが、飽和食塩水に0.1%程度以上のフェロシアンを添加すると、デンドライトが生成されると報告

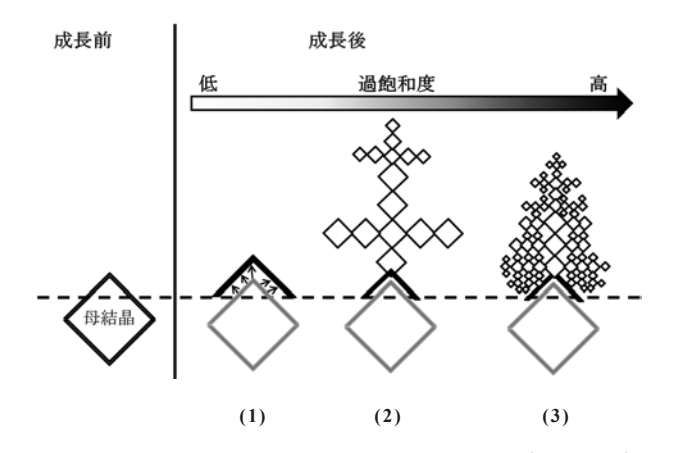


Fig. 1 過飽和度とデンドライト形成との関係 (イメージ)

している程度である<sup>2)</sup>. 本報告では、フェロシアン化物イオンを添加した母液を静置してデンドライトの形成過程を観察したので報告する.

# 2. 実験方法

#### 2.1 試験溶液の調製

蒸留水にフェロシアン化ナトリウム 10 水和物を所定濃度になるように添加し、一昼夜撹拌して溶解した後、塩化ナトリウムを過剰に添加してさらに 5 日間撹拌した.この上澄みを試験溶液とし、フェロシアン化ナトリウム濃度が異なる 2 種類の試験溶液(溶液 A、B)を調製した.

一方、以下の方法にてフェロシアン化ナトリウム – 塩化ナトリウム平衡水溶液を調製した。フェロシアン化ナトリウム 10 水和物 360 g および蒸留水 600 g をビーカーに入れ、室温 25  $\mathbb{C}$ 、湿度 30 %で約 5 日間撹拌した。次に、この液の上澄みを採取し、塩化ナトリウムを過剰に添加し、室温 25  $\mathbb{C}$ 、湿度 30 %で 7 日間撹拌した。この上澄みをフェロ

シアン化ナトリウム - 塩化ナトリウム平衡水溶液とした. なお、試験溶液およびフェロシアン化ナトリウム - 塩化ナトリウム平衡水溶液の塩化物イオン濃度およびフェロシアン化物イオン濃度はそれぞれ、硝酸銀滴定法およびプルシアンブルー吸光光度法にて分析した3).

#### 2.2 樹枝状結晶の作製

試験溶液をシャーレの中央に所定量滴下して数時間静置した.この間,滴下した水滴周辺をビデオカメラにて撮影した.試験条件を Table 1 にまとめる. 試験後,ビデオカメラを再生し,所定時間ごとに停止して画面上の液滴あるいはデンドライトの直径を計測した.計測にあたっては,画面内に予め設置した定規の目盛りを基に液滴あるいはデンドライトの直径を±0.25 mm の精度で読み取った.

Table 1 試験条件

No.	溶液	温度	湿度	容器	溶液量
1	A	$25~^{\circ}\!$	30 %	$9 \operatorname{cm} \phi \circ \forall - V$	150 μL
2	В	$25~^{\circ}\mathrm{C}$	30 %	$9 \operatorname{cm} \phi \circ \forall - V$	$150\;\mu L$
3	A	未調節	未調節	$9 \operatorname{cm} \phi \stackrel{.}{\triangleright} \forall - V$	$150~\mu L$



(1) 55 分経過



(3) 65 分経過



(5) 135 分経過

# 3. 結果および考察

#### 3.1 デンドライトの形成過程

Fig. 2 に試験条件 No. 1 におけるデンドライトの形成過程を示す. 実験開始直後,液滴表面はわずかに黄色を呈した透明であった(以上,過程 0)が,時間経過とともに液滴の表面に結晶が現れて次第に白濁し(1),約60分後には表面全体が白い固体で覆われた(2).その後,65分経過後までの間,液滴は次第に小さくなり,液滴とシャーレとの境界線にデンドライトが形成された(3)(以上,過程1).デンドライトはシャーレのガラス面に沿って水平方向へ前進し(4),90分経過して半径が8 mm 程度になったあたりから先端が分岐しながら前進し,典型的な樹枝状となった(5).このとき,液滴は次第に小さくなった(以上,過程 2).その後,液滴は完全につぶれ,それと同時にデンドライトの前進は停止した(過程 3).

#### 3.2 フェロシアン化物イオン濃度の影響

Table 2 に 2 項で調製した水溶液のフェロシアン化物イオン濃度および塩化ナトリウム濃度の分析結果をまとめる. また, 両濃度の関係を Fig. 3 に示す. 各水溶液を各フェ



(2) 60 分経過



(4) 90 分経過



(6) 実験後

Fig. 2 デンドライトの形成過程

Table 2 試験溶液の分析結果

	フェロシアン化物	塩化ナトリウム
	イオン(g/kg)	(g/kg)
溶液 A	0.87	244.1
溶液 B	1.36	240.1
フェロシアン化ナトリ ウム - 塩化ナトリウム 平衡溶液	10.33	184.0

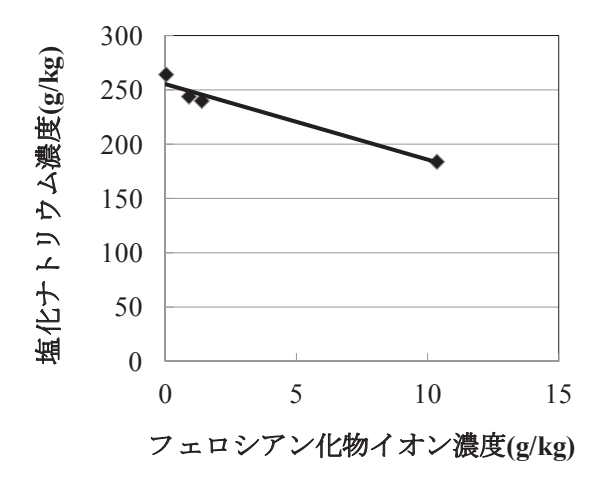


Fig. 3 フェロシアン化物イオン濃度と塩化ナトリウム 溶解度との関係

ロシアン化ナトリウム濃度における塩化ナトリウム飽和水溶液であると考え、分析された塩化ナトリウム濃度は塩化ナトリウム溶解度に相当すると考えた。塩化ナトリウム溶解度に対するフェロシアン化物イオン濃度の影響は比較的大きく、フェロシアン化物イオン濃度が高いほど塩化ナトリウム濃度は低下した。デンドライトの形成過程において、溶液中のフェロシアン化物イオン濃度は時間経過とともに上昇していると考えられることから、塩化ナトリウム溶解度は時間経過とともに低下していると考えられる。一方、フェロシアン化サトリウムー塩化ナトリウム平衡水溶液のフェロシアン化物イオン濃度は10.33 g/kgであり、フェロシアン化物イオンが10~20倍程度濃縮された時点で、いずれの試験水準においても溶液の組成は同程度になると考えられる。

Fig. 4に Table 1の No. 1 および No. 2 について、デンドライト半径の経時変化を示す。また、3.1 項で述べた過程 0 ~過程 3 の範囲を Fig. 4 に追記する。デンドライトの形成過程はフェロシアン化物イオン濃度により変化した。過程 3 におけるデンドライトの半径はフェロシアン化物イオン濃度が低い No. 1 の方が No. 2 よりも大きくなった。この理由はフェロシアン化物イオン濃度が高いほど塩化ナトリウム溶解度が低下するためと考えられる。

過程0の時間, すなわち, 液滴表面にける核発生誘導時間はNo.1の方がNo.2よりも短く, それぞれ, 50分間,

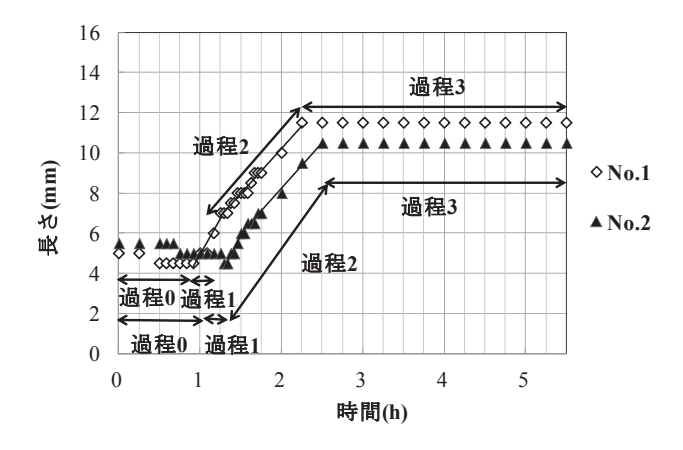


Fig. 4 No. 1 および No. 2 におけるデンドライト半径の経時変化

60 分間であった. このことから, 核発生誘導時間はフェロシアン化物イオンの濃度が高いほど長くなると考えられる. これはフェロシアン化物イオン濃度が高いほど塩化ナトリウムの溶解度が低下することと, 塩化ナトリウムの結晶化を阻害することに起因していると考えられる. 一方,過程1の時間はNo.1の方がNo.2よりも短く, それぞれ,15 分間, 20 分間であった.

また、過程2の傾き、すなわち、デンドライトの前進速度は、初期においては高く、その後、低下した。No. 1、No. 2 の初期の前進速度はそれぞれ、6.4 mm/h、6.8 mm/hであり、その後は両者ともに4.6 mm/h 程度となった。これらのことから、デンドライトの前進速度はフェロシアン化物イオン濃度が高いほど低下すると考えられ、フェロシアン化物イオン濃度が時間経過とともに上昇し、最終的にフェロシアン化ナトリウムー塩化ナトリウム平衡水溶液と同等の組成になったため、前進速度は一定になったと考えられる。

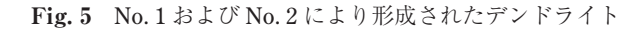
Fig. 5 に実験後の両者のデンドライト写真を示す. デンドライトの分枝は実験初期のフェロシアン化物イオン濃度が高い No. 2 の方が太くなった. これはフェロシアン化物イオン濃度が高いほど前進速度が低いため, 過飽和度が高くなることで枝分かれが多くなり分枝が太くなったと考えられる. No. 2 の過飽和度は高く維持されていると考えると, デントライト形成は過飽和形成過程ではなく結晶成長過程が律速になっていると考えられる. したがって, 過程1 の時間および過程 2 における前進速度がフェロシアン化物イオン濃度に依存する理由はフェロシアン化物イオンによる結晶成長の阻害であると考えられる.

#### 3.3 蒸発速度の影響

**Fig. 6** に No. 1 および No. 3 におけるデンドライト半径 の経時変化を示す。過程 3 に到達するまでの時間は No. 3 の方が長かったことから、No. 3 は No. 1 よりも蒸発速度 が低いと考えられる。同様に、過程  $0 \sim$  過程 1 の時間は No. 3 の方が長かった。一方、No. 3 におけるデンドライ

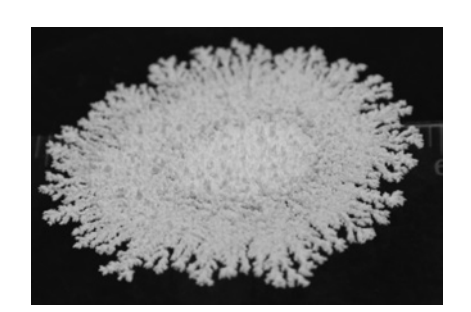








No. 1 No. 3



16 14 **E** 12 ¥U 8 ♦ No.1 過程2 岷 6 • No.3 4 2 過程1 0 5 2 時間(h)

Fig. 7 No. 1 および No. 3 により形成されたデンドライト

Fig. 6 No. 1 および No. 3 におけるデンドライト半径の経時変化

トの前進速度は約 4.6 mm/h であったが、過程 2 の後期か ら過程3に移行する段階において、前進速度が徐々に低下 した. No. 3 においては蒸発速度が低いため、時間経過と ともに溶液中の過飽和度が低下したと考えられる.

Fig. 7 に実験後の両者のデンドライト写真を示す. No. 1 の場合においては、デンドライトがシャーレ面に沿って水平 に伸びるだけでなく、上方へも伸びて立体的になったが、 No.3においては上方への前進が乏しかった。この理由は、 蒸発速度が高い場合には前進速度の上限よりも析出速度が 高くなり、過飽和度が上昇してデンドライトの分岐が多く なるためと考えられる。以上のことから、デンドライトの 形状を制御するためには溶液中のフェロシアン化物イオン

濃度を制御するよりも、蒸発速度を制御する方が有効と考 えられる.

#### 4. 結 言

母液中にフェロシアン化物イオンを添加した場合に形成 されるデンドライトの形成過程を観察した. シャーレに フェロシアン化物イオンを含む塩化ナトリウム飽和水溶液 を滴下すると、3時間経過後までの間に液滴とシャーレと の境界線にデンドライトが生成された. デンドライトは シャーレのガラス面に沿って水平方向へ前進し、5~6時 間経過して典型的な樹枝状となった. デンドライトの形成 過程は溶液中のフェロシアン化物イオン濃度に依存する が、蒸発速度にも依存し、デンドライトの形状を制御する ためには蒸発速度を制御するほうがデンドライト形状の制 御範囲が広いと考えられる.

### 引用文献

- 1) Wikipedia Website, "デンドライト", (https://ja.wikipedia.org/wiki) (accessed 2015.3.1)
- 2) 村上正祥, "塩の析出環境条件と結晶形状 (3)", 日本海水 学会誌, 54, 394-397 (2000)
- 3) 財団法人塩事業センター, "塩試験方法第4版", 財団法人 塩事業センター発行, 71-72 (2013)
- 4) 村上正祥, "フェロシアン化カリ添加による食塩の晶癖変 化について", 日本専売公社小名浜工場技術報告, 3, 107-137 (1963)

# Abstract

# Formation of Sodium Chloride Dendrite by Addition of Sodium Ferrocyanide to Mother Solution

Koji Masaoka

The process whereby sodium chloride dendrite is formed by the addition of sodium ferrocyanide to a mother solution was observed. A saturated sodium chloride aqueous solution to which sodium ferrocyanide had been added was dropped onto a dish. After three hours, dendrite formed along the border between the droplet and the dish. The dendrite gradually progressed across the dish, ultimately forming a typical dendrite after five to six hours. The process whereby sodium chloride dendrite is formed depends on the concentration of the ferrocyanide ions in the mother solution, as well as the evaporation rate of the mother solution. We concluded that the latter is an effective means of controlling the dendrite formation because it has a wider control range than the former.